

文章编号: 1000-324X(2007)03-0451-05

Y₂O₃ 和 ZnO 共掺杂对 BaTiO₃ 陶瓷的微观结构和介电性能的影响

李 波, 张树人, 周晓华, 袁 纶

(电子科技大学 微电子与固体电子学院, 成都 610054)

摘要: 研究了 Y₂O₃ 和 ZnO 共掺杂对 BaTiO₃ 陶瓷的微观结构和介电性能的影响。XRD 分析表明, Y₂O₃ 和 ZnO 促使 BaTiO₃ 的晶体结构由四方相转变为赝立方相; 在此系统中 Y₂O₃ 的固溶度低于 1.5mol%, 而 ZnO 的固溶度约 3.0mol%。SEM 显示 Y₂O₃ 比 ZnO 更能有效地改善微观结构, 其显著的晶粒抑制作用归因于分散于晶界的第二相 Y₂Ti₂O₇ 对晶粒生长的钉扎作用。适量 Y₂O₃ 和 ZnO 的协同作用有助于形成壳 - 芯结构, 并显著改善 BaTiO₃ 陶瓷的介电温度稳定性。在 BaTiO₃-Y₂O₃-ZnO 新体系中获得符合 X7R 的高性能抗还原介质。

关键词: 钛酸钡; 氧化钇; 氧化锌; 多层陶瓷电容器

中图分类号: TM534 文献标识码: A

Effect of Y₂O₃ and ZnO Co-doping on the Microstructure and Dielectric Properties of BaTiO₃ Materials

LI Bo, ZHANG Shu-Ren, ZHOU Xiao-Hua, YUAN Ying

(School of Microelectronics and Solid-State Electronics, University of Electronic Science and Technology of China, Chengdu 610054, China)

Abstract: The effect of Y₂O₃ and ZnO on the microstructure and dielectric properties of BaTiO₃ materials was researched. XRD indicates the crystal structures of BaTiO₃ transform from tetragonal to pseudocubic by Y₂O₃ and ZnO codoping. SEM shows Y₂O₃ behaves more effective grain-growth-inhibition than ZnO owing to the intergranular second-phase Y₂Ti₂O₇. Sufficient Y₂O₃ and ZnO can help to form the core-shell structure and improve the dielectric-temperature characteristics markedly. The high performance nonreducible dielectrics satisfying X7R can be achieved in the BaTiO₃-Y₂O₃-ZnO new system.

Key words BaTiO₃; Y₂O₃; ZnO; multilayer ceramic capacitor

1 引言

钛酸钡 (BaTiO₃) 作为介质材料被广泛用于多层陶瓷电容器 (Multilayer ceramic capacitor, MLCC), 它可以通过物理、化学改性而得到所需的电容温度特性^[1-7]。X7R 标准要求, 在 -55~125°C 温区, 电容变化率 $\Delta C/C \leq \pm 15\%$ 。温度稳定型 X7R 特性的获得, 是由于 BaTiO₃ 基陶瓷中形成了所谓的晶粒壳 - 芯结构, 即铁电相的晶粒芯 (纯 BaTiO₃) 被顺电相的晶粒壳 (掺杂 BaTiO₃) 所包裹^[4,5]。近年来, X7R 型 MLCC 由于其电容温度稳定性被大量应用于小型化、高可靠的电子产品。

BaTiO₃-Nb₂O₅-Co₃O₄ 陶瓷系统已被成功用于生产传统的贵金属 (Ag/Pd) 内电极 MLCC^[4]。为了降低成本, 采用贱金属 (Ni 或 Cu) 作内电极的抗还原介质体系 BaTiO₃-R₂O₃-MgO (R 代表稀土元素) 被提出并得到较广泛的研究^[5,6]。

单一掺杂 Y₂O₃^[8-10] 和 ZnO^[11] 能够有效地改善 BaTiO₃ 陶瓷的微观结构和介电性能, 但是关于 Y₂O₃ 和 ZnO 共同掺杂 BaTiO₃ 陶瓷系统的研究至今未见报道。本工作提出一种满足 X7R 要求的抗还原瓷料三元系统 BaTiO₃-Y₂O₃-ZnO, 并重点研究 Y/Zn 比对该体系的微观结构和介电性能的影响。

收稿日期: 2006-06-09, 收到修改稿日期: 2006-09-01

作者简介: 李 波 (1980-), 男, 博士研究生。E-mail: lbuestc@163.com

2 实验

以水热法合成的 BaTiO_3 粉体为原料, 添加分析纯的 Y_2O_3 、 ZnO 以及助烧剂 BaSiO_3 。为了比较 Y_2O_3 、 ZnO 的掺杂效果, 实验配方见表 1。原料均匀混合后在去离子水中球磨 12h, 经烘干、过筛、造粒、压片、排胶后, 在还原气氛中 1250°C 烧结 3h。用 SEM(Hitachi S-530) 观察陶瓷的微观形貌, 用 XRD(Philips X' Pert Pro MPD) 分析样品的晶体结构和物相组成, 用 LCR 仪 (HP 4284A) 测试其介电温度特性。

表 1 样品组成 (mol%)

Table 1 Sample compositions (mol%)

	BaTiO_3	$\text{YO}_{3/2}$	ZnO	BaSiO_3
YZ1	100	1.0	1.0	1.0
YZ2	100	1.0	3.0	1.0
YZ3	100	3.0	1.0	1.0
YZ4	100	3.0	3.0	1.0

3 结果和讨论

图 1 为掺杂不同量 Y_2O_3 和 ZnO 的 BaTiO_3 陶瓷的 XRD 衍射谱。从图 1(a) 可见, 掺入 0.5mol% Y_2O_3 的样品 YZ1 和 YZ2 均为单一四方相的 BaTiO_3 固溶体。当 Y_2O_3 的含量达到 1.5mol% 时, 焦绿石型的第二相 $\text{Y}_2\text{Ti}_2\text{O}_7$ (JCPDS 27-0982) 将出现较弱的谱峰, 说明此体系中 Y_2O_3 的固溶度 <1.5mol%。另一方面, 所有样品都未出现 ZnO 的衍射峰。Caballero 等^[11] 研究发现, 在 ZnO 单掺杂的 BaTiO_3 陶瓷中, 添加少量 1.0wt%(约 3.0mol%) ZnO 的样品未观测到 ZnO 峰, 但是当掺杂量 >5.0wt% 时会出

现明显的 ZnO 峰。因此, 本体系中 ZnO 在 BaTiO_3 中的固溶度约 3.0mol%。

由图 1(b) 可见, YZ1 在 45° 附近的特征峰分裂为 (002) 和 (200), 而随着 Y_2O_3 和 ZnO 含量递增, 双峰逐渐合并, 这表明其晶体结构由四方相转变为赝立方相。与此对应, 晶胞参数 a 轴略有伸长、 c 轴缩短, 四方率 c/a 逐渐减小, 这也说明 Y、Zn 进入并影响了 BaTiO_3 晶格。根据 Shannon 离子半径表, A 位 (12 配位): $\text{Ba}^{2+}=1.610\text{\AA}$, $\text{Y}^{3+}=1.233\text{\AA}$; B 位 (6 配位): $\text{Ti}^{4+}=0.605\text{\AA}$, $\text{Y}^{3+}=0.900\text{\AA}$, $\text{Zn}^{2+}=0.750\text{\AA}$ 。事实上, 钛铁矿结构的 ZnTiO_3 表明 Zn^{2+} 的离子半径太小而不足以维持 ABO_3 钙钛矿结构^[12], 而 Zn^{2+} 与 Ti^{4+} 的离子半径更加接近, 因此我们认为少量的 Zn^{2+} 将占据 B 位而起主要作用。由于 Y^{3+} 的离子半径居于 Ba^{2+} 、 Ti^{4+} 之间, Y 将根据 A/B 比以及其浓度表现出双向取代作用^[8,9]。由于 Zn 取代 Ti 后会产生过量的 TiO_2 并导致 $A/B < 1$, 此时 Y 更倾向于占据 A 位而表现为施主。Zhi 等^[9] 研究表明, 在 Y_2O_3 单掺杂非化学计量 BaTiO_3 陶瓷中, Y 的固溶度在 Ba 位 (约 1.5mol%) 远低于在 Ti 位 (约 12.2mol%)。当 Y 掺杂量增大到 3.0mol% 而超过其在 A 位的固溶度时, 过量的 Y_2O_3 与 TiO_2 将反应生成第二相 $\text{Y}_2\text{Ti}_2\text{O}_7$ 。因此, 在 BaTiO_3 - Y_2O_3 - ZnO 三元系统中, Y_2O_3 的固溶度低于 1.5mol%, 而 ZnO 的固溶度约为 3.0mol%。

图 2 为不同 Y_2O_3 和 ZnO 掺杂量样品的微观形貌。如图 2(a)、2(b), 对于添加 0.5mol% Y_2O_3 的陶瓷显示出比较相似的微观结构, 即晶粒大小不均, 异常生长的大晶粒 ($\geq 2.0 \mu\text{m}$) 与细晶粒 ($\leq 1.0 \mu\text{m}$) 共存。不过当 ZnO 增大到 3.0mol%, 细晶的比例也随之增加。Caballero 等^[11] 报道, 在 ZnO 单掺杂 BaTiO_3 介质中, ZnO 添加量 0.5wt% (约 1.5 mol%)

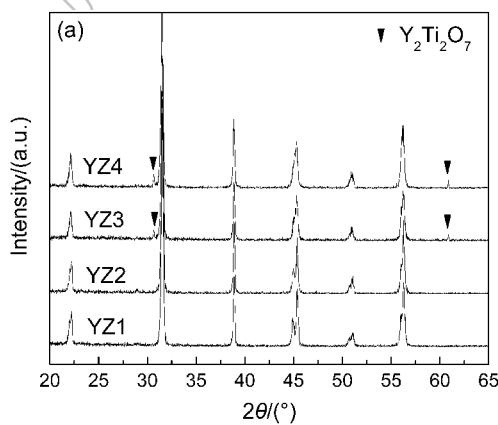


图 1 不同 Y_2O_3 和 ZnO 含量样品的 XRD 图谱

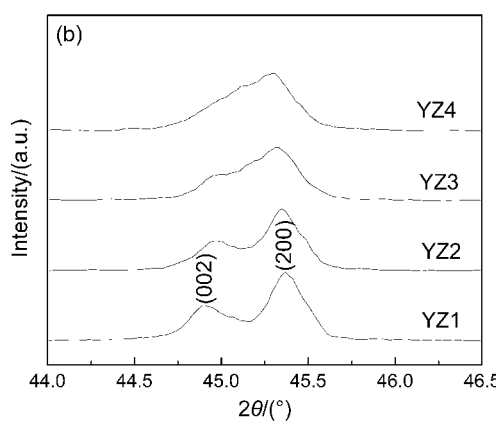
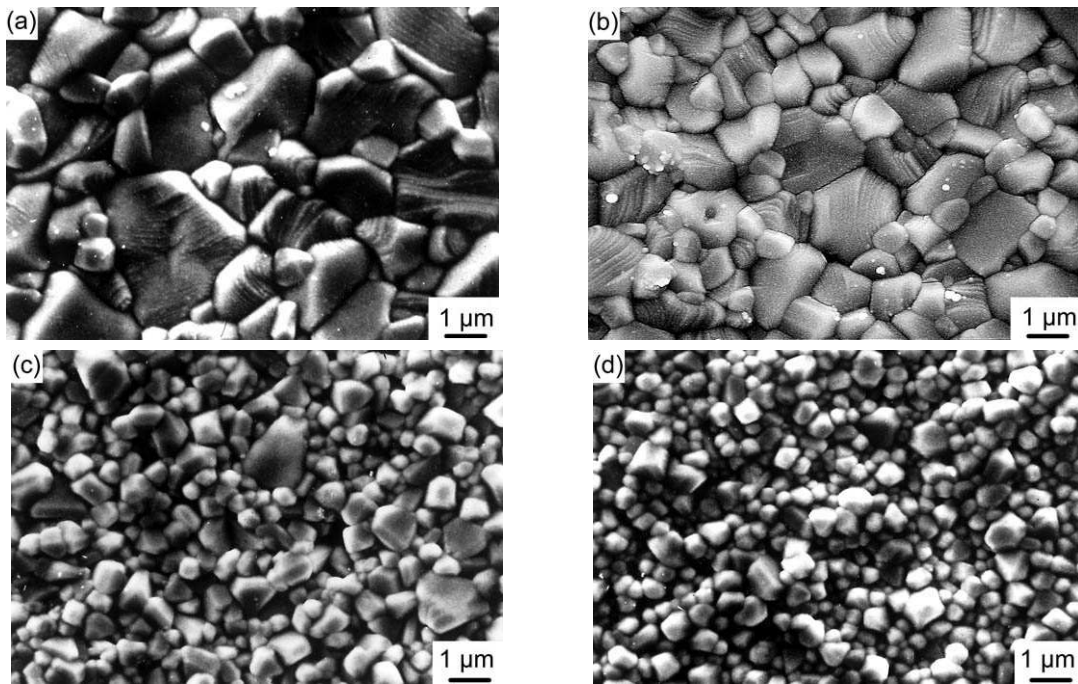


Fig. 1 X-ray diffraction patterns of the samples with different Y_2O_3 and ZnO contents

图 2 不同 Y_2O_3 和 ZnO 掺杂量样品的 SEM 照片Fig. 2 SEM micrographs of specimens with various Y_2O_3 and ZnO contents

(a) YZ1; (b) YZ2; (c) YZ3; (d) YZ4

时晶粒生长就能够受到显著地抑制, 这与我们的观察结果不太一致。此外, 小晶粒也非第二相, 因为在 XRD 谱中无相关衍射峰出现。

掺杂 1.5mol% Y_2O_3 的样品都具有均匀的细晶结构, 这与以前的 Y_2O_3 单掺杂 BaTiO_3 陶瓷的研究结果相符^[8]。YZ3 的平均晶粒大小约 $0.8\mu\text{m}$, 当 ZnO 增加到 3.0mol% 时 YZ4 的平均晶粒进一步减小至 $0.5\mu\text{m}$ 。这说明尽管 Y 和 Zn 都可以抑制 BaTiO_3 的晶粒生长, 但是 Y_2O_3 比 ZnO 更能有效地改善 BaTiO_3 - Y_2O_3 - ZnO 系统的微观结构。

由于少量的 $\text{Y}_2\text{Ti}_2\text{O}_7$ 第二相晶粒很小, 并均匀分散于陶瓷晶粒各处, 故在 SEM 中 $\text{Y}_2\text{Ti}_2\text{O}_7$ 未被发现。然而 Lin 等^[8] 在 1.0 mol% Y_2O_3 单掺杂 BaTiO_3 的陶瓷样品中, 采用 TEM 观察到位于晶界处的第二相晶粒 $\text{Y}_2\text{Ti}_2\text{O}_7$ 。我们认为, Y_2O_3 显著的晶粒抑制作用应该归因于分散在晶界区域的第二相如 $\text{Y}_2\text{Ti}_2\text{O}_7$ 对晶粒生长的钉扎作用。

图 3 为 Y_2O_3 和 ZnO 共掺杂样品的介电温度特性曲线 (ε - T)。在居里点 (Curie point, T_C) 附近 YZ1 出现尖锐的介电峰, 但是随着 ZnO 增加到 3.0mol%, YZ2 的介电峰强度受到显著压制。当 Y_2O_3 增加到 3.0mol% 时, YZ3 尤其是 YZ4 的 ε - T 曲线在 $-55\sim150^\circ\text{C}$ 温区变得比较平坦。可见, 增大 Y_2O_3 和 ZnO 掺杂量能显著地改善此体系介电常数的温度稳定性。

如图 3 所示, YZ1 和 YZ2 都是单峰曲线, YZ3 和 YZ4 却显示出了双峰曲线, 这归咎于后二者中壳-芯结构晶粒的形成。Park 等^[13] 已证实低温、高温介电峰的强度分别由晶粒壳、芯的体积分数决定。随着 Y_2O_3 和 ZnO 掺杂量的增加, 更多的掺杂离子 Y^{3+} 、 Zn^{2+} 将向 BaTiO_3 晶粒中深度扩散, 从而引起晶粒壳增大、晶粒芯减小, 居里峰大幅下降变宽、低温峰不断抬高。由此推断, Y_2O_3 和 ZnO 的协同作用有助于形成完善的壳-芯结构, 从而提升 BaTiO_3 陶瓷的电容温度稳定性。

由图 3 可见, YZ1 的居里点 T_C 为 125°C (与纯 BaTiO_3 接近); 当 ZnO 增大到 3.0mol%, T_C 下降了 6°C , 即 YZ2 的 T_C 降低至 119°C ; 当 Y_2O_3 增加至 1.5mol%, YZ3 的 T_C 却迅速升高到 131°C ; YZ4 的 T_C 为 129°C , 略降低了 2°C 。Caballero 等^[11] 也发现一定量的 ZnO 能够降低 ZnO 单掺杂 BaTiO_3 的 T_C , 这与本实验的结果一致。 T_C 的移动反映出 Y 、 Zn 离子掺入 BaTiO_3 晶格。 ZnO 降低 T_C 应归咎于晶粒细化以及氧空位的形成, 而氧空位是当 Zn^{2+} 作为受主取代 Ti^{4+} 时产生。另一方面, 增加 Y_2O_3 会提高 T_C , 这与大离子半径稀土如 La 、 Ce 的结果恰好相反, 它们能有效地降低 T_C ^[14,15]。而且 Zhi 等^[10] 报道 Y_2O_3 会降低 $\text{Ba}(\text{Ti}_{1-x}\text{Y}_x)\text{O}_3$ 陶瓷的 T_C , 这与本研究的结果不一致, 可能是由研究体系不同造成的。此外, Sato 等^[16] 提出对于 BaTiO_3 - $R_2\text{O}_3$ -

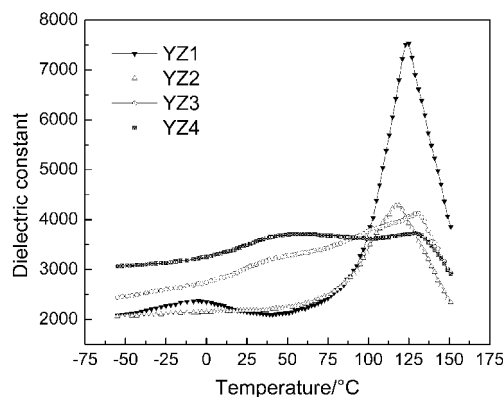


图 3 $\text{Y}_2\text{O}_3/\text{ZnO}$ 共掺杂 BaTiO_3 陶瓷的介电温度特性曲线

Fig. 3 Temperature dependences of dielectric constant ($\varepsilon-T$) for $\text{Y}_2\text{O}_3/\text{ZnO}$ codoped BaTiO_3 ceramics

MgO 体系, 晶粒壳、芯之间的不适可能产生应力并提升 T_C , 这与 $\text{BaTiO}_3-\text{Y}_2\text{O}_3-\text{ZnO}$ 体系十分相似, 因为在 YZ3 和 YZ4 中壳 - 芯结构已经完整形成.

图 4 为 Y_2O_3 和 ZnO 共掺杂样品的电容变化率温度特性曲线 ($\Delta C/C-T$). YZ1 具有很大的高温电容变化率 $\Delta C/C$. 当 Y 或 Zn 含量增加至 3.0mol% 时, YZ2、YZ3 的高温 $\Delta C/C$ 都突然下降, 但后者降幅更大, 说明 Y_2O_3 的压峰作用比 ZnO 更为显著. 当同时添加 3.0mol% 的 Y 和 Zn 时, 高温 $\Delta C/C$ 值将进一步降低, 并致使 $\Delta C/C$ 的温度稳定性明显提升, YZ4 满足 X7R 标准. 这表明只有共掺杂足量的 Y_2O_3 和 ZnO , 才能充分发挥二者的协同改性作用并得到具有适当的壳 / 芯比的壳 - 芯结构, 从而获得所需要的温度特性.

我们知道, 晶粒芯决定高温 $\Delta C/C$ 、晶粒壳决定低温 $\Delta C/C$, 因而对于具有壳 - 芯结构的 BaTiO_3 材料, 晶粒的壳 / 芯体积比就决定了 $\Delta C/C-T$ 特性. 因此, 随着 Y_2O_3 和 ZnO 增加, $\Delta C/C-T$ 特性的有效改进应归因于壳 / 芯体积比的增大. 此外, Armstrong 等^[17] 认为晶粒壳芯之间失配所引起的内应力对改善介温特性有积极作用. 另外, 我们认为第二相 $\text{Y}_2\text{Ti}_2\text{O}_7$ 的存在也是导致 $\Delta C/C-T$ 特性优化的因素. 尽管在研究中没有发现 $\text{Y}_2\text{Ti}_2\text{O}_7$ 对绝缘、损耗等性能方面的负面效应, 但是 Sakabe 等^[18] 曾指出第二相对陶瓷电容器的可靠性方面有害, 所以第二相对于高可靠、高稳定 MLCC 的确切作用将有待于进一步的深入研究. 因此可以认为对 $\text{Y}_2\text{O}_3/\text{ZnO}$ 共掺杂 BaTiO_3 材料, 壳 - 芯结构晶粒的形成尤其是其中适当的

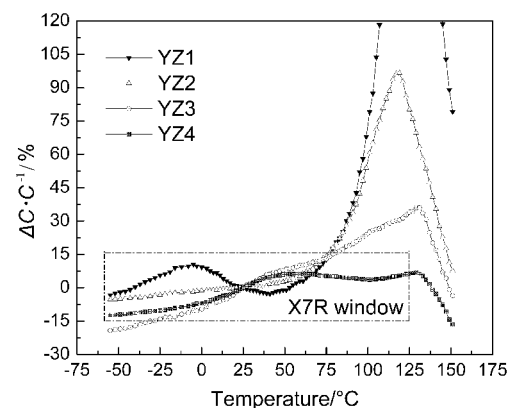


图 4 $\text{Y}_2\text{O}_3/\text{ZnO}$ 共掺杂 BaTiO_3 样品的电容变化率温度特性曲线

Fig. 4 Temperature dependences of capacitance change for $\text{Y}_2\text{O}_3/\text{ZnO}$ codoped BaTiO_3 dielectrics

壳 / 芯比是提高温度特性的主要原因, 而第二相如 $\text{Y}_2\text{Ti}_2\text{O}_7$ 仅仅起次要作用.

4 结论

在 $\text{BaTiO}_3-\text{Y}_2\text{O}_3-\text{ZnO}$ 三元系统中, 获得了满足 X7R 的新型介质材料, 其介电性能优异: $\varepsilon_{25^\circ\text{C}} \approx 3500$, $\tan\delta \approx 0.7\%$, $IR = 10^{12}\Omega\cdot\text{cm}$, $G_{av} \approx 0.5\mu\text{m}$.

XRD 证实在此体系中 Y_2O_3 的固溶度低于 1.5mol%, 而 ZnO 的固溶度约 3.0mol%. 随着 Y_2O_3 和 ZnO 增加, BaTiO_3 的晶体结构由四方相转变为赝立方相. Zn 作为受主取代 Ti 而产生过量的 TiO_2 并导致 $A/B < 1$, 因此 Y 更倾向于占据 A 位而表现为施主. 当 Y_2O_3 超出其在 A 位的固溶度后将与 TiO_2 反应生成第二相 $\text{Y}_2\text{Ti}_2\text{O}_7$.

SEM 显示尽管 Y 和 Zn 都能抑制 BaTiO_3 晶粒生长, 但 Y_2O_3 比 ZnO 更能有效地改善该系统的微观结构, 其显著的晶粒抑制作用归因于分散在晶界区域的第二相 $\text{Y}_2\text{Ti}_2\text{O}_7$ 对晶粒生长的钉扎作用.

Y_2O_3 提高居里点 T_C , 归因于晶粒壳、芯之间失配产生的内应力; 而 ZnO 降低 T_C , 归咎于晶粒细化以及氧空位的形成. 适量 Y_2O_3 和 ZnO 的协同作用有助于形成完善的壳 - 芯结构, 从而改善 BaTiO_3 陶瓷的介电温度稳定性. 对于 $\text{Y}_2\text{O}_3/\text{ZnO}$ 共掺杂 BaTiO_3 陶瓷, 壳 - 芯晶粒的形成尤其是适当的壳 / 芯比是提升介温特性的主要因素, 而第二相 $\text{Y}_2\text{Ti}_2\text{O}_7$ 仅仅起次要作用.

参考文献

- [1] Kishi H, Mizuno Y, Chazono H. *Jpn. J. Appl. Phys.*, 2003, **42** (1): 1–15.
- [2] 王 升, 张树人, 周晓华, 等 (WANG Sheng, et al). 无机材料学报 (Journal of Inorganic Materials), 2006, **21** (2): 369–374.
- [3] 周晓华, 张树人, 唐 斌, 等 (ZHOU Xiao-Hua, et al). 无机材料学报 (Journal of Inorganic Materials), 2006, **21** (3): 683–688.
- [4] Chazono H, Fujimoto M. *Jpn. J. Appl. Phys.*, 1995, **34** (9B): 5354–5359.
- [5] Kishi H, Okino Y, Honda M, et al. *Jpn. J. Appl. Phys.*, 1997, **36** (9B): 5954–5957.
- [6] Wang S, Zhang S R, Zhou X H, et al. *Mater. Lett.*, 2005, **59** (19–20): 2457–2460.
- [7] Zhang S R, Wang S, Zhou X H, et al. *J. Mater. Sci. Mater. Electron.*, 2005, **16** (10): 669–672.
- [8] Lin M H, Lu H Y. *Mater. Sci. Eng. A*, 2002, **335** (1–2): 101–108.
- [9] Zhi J, Chen A, Zhi Y, et al. *J. Am. Ceram. Soc.*, 1999, **82** (5): 1345–1348.
- [10] Zhi J, Chen A, Zhi Y, et al. *J. Appl. Phys.*, 1998, **84**: 983–986.
- [11] Caballero A C, Fernández J F, Moure C, et al. *J. Eur. Ceram. Soc.*, 1997, **17** (4): 513–523.
- [12] Dulin F H, Rase D E. *J. Am. Ceram. Soc.*, 1960, **43** (3): 125–131.
- [13] Park Y, Kim Y H, Kim H G. *Mat. Lett.*, 1996, **28** (1–3): 101–106.
- [14] Kuwabara M, Matsuda H, Kurata N, et al. *J. Am. Ceram. Soc.*, 1997, **80** (10): 2590–2596.
- [15] Hennings D, Schreinemacher B, Schreinemacher H. *J. Eur. Ceram. Soc.*, 1994, **13** (1): 81–88.
- [16] Sato S, Fujikawa Y, Nomura T. *Am. Ceram. Soc. Bull.*, 2000, **79**: 155–158.
- [17] Armstrong T R, Buchanan R C. *J. Am. Ceram. Soc.*, 1990, **73** (5): 1268–1273.
- [18] Sakabe Y, Hamaji Y, Nishiyama T. *Ferroelectrics*, 1992, **133**: 133–136.